

В. В. Ключев, М. И. Кунин

РАСЧЕТ ВИХРЕТОКОВЫХ ПРЕОБРАЗОВАТЕЛЕЙ ПРОХОДНОГО ТИПА

Вихретоковым преобразователям проходного типа посвящено достаточно много работ [1—4]. Большинство авторов проводит анализ исходя из условия однородности поля в направлении продольной оси изделия, что справедливо для конструкции типа протяженного соленоида. При дефектоскопии труб, прутков, проводов и других изделий применяются проходные преобразователи с короткими задающими и измерительными катушками, когда размеры поперечного сечения обмоток значительно меньше диаметра.

В данном случае расчет следует проводить с учетом тангенциальной составляющей электрического поля E_{φ} , а также аксиальной и радиальной составляющих магнитного поля H_z и H_r .

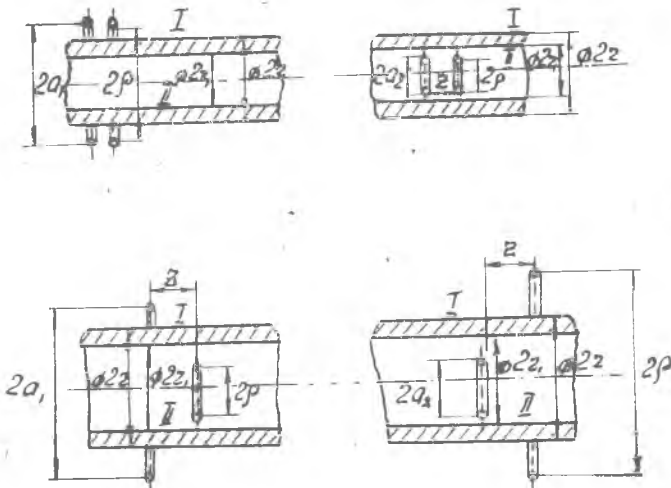


Рис. 1. Варианты проходных преобразователей

Решение уравнений Максвелла дает следующие значения составляющих электрического поля проходного преобразователя, расположенного соответственно снаружи и внутри трубы (рис. 1)

$$E_{\varphi I} = \frac{-j\omega\mu_0 I a_1}{\pi} \left[\int_0^{\infty} K_1(\lambda a_1) I_1(\lambda \rho) \cos \lambda z d\lambda + \int_0^{\infty} K_1(\lambda a_1) K_1(\lambda \rho) P_1 \cos \lambda z d\lambda \right], \quad (1)$$

$$E_{\varphi II} = \frac{-j\omega\mu_0 I' a_1}{\pi r} \int_0^{\infty} \frac{K_1(\lambda a_1) I_1(\lambda \rho) \cos \lambda z [I_1(ur_1) + \xi_1 K_1(ur_1)] d\lambda}{U I_1(\lambda r_1) \varphi_1}, \quad (2)$$

$$E_{\varphi I} = \frac{-j\omega\mu_0 I' a_2}{\pi r_1} \int_0^{\infty} \frac{I_1(\lambda a_2) K_1(\lambda \rho) [I_1(ur) + \xi_2 K_1(ur)] \cos \lambda z d\lambda}{\mu K_1(\lambda r) \varphi_2}, \quad (3)$$

$$E_{\varphi II} = \frac{-j\omega\mu_0 I a_2}{\pi} \left[\int_0^{\infty} I_1(\lambda a_2) K_1(\lambda \rho) \cos \lambda z d\lambda + \int_0^{\infty} I_1(\lambda a_2) I_1(\lambda \rho) P_2 \cos \lambda z d\lambda \right] \quad (4)$$

где I — область вне трубы,

II — область внутри трубы,

ω — круговая частота тока питания,

μ_0 — магнитная проницаемость вакуума,

a_1, a_2 — радиус токовой катушки соответственно внешнего и внутреннего преобразователя,

I — ток питания,

ρ — радиус измерительной катушки,

z — расстояние между токовой и измерительной катушками (базиса), $u = \sqrt{\lambda^2 + k^2}$, $k = \sqrt{j\omega\mu_0\mu^1\sigma}$,

μ' — относительная начальная проницаемость вещества,

$$\varphi_1 = K_1(\lambda r) I_0(ur) + \frac{\mu'\lambda}{u} I_1(ur) K_0(\lambda r) - \xi_1 \left[K_1(\lambda r) K_0(ur) - K_1(ur) K_0(\lambda r) \frac{\mu'\lambda}{u} \right],$$

$$\varphi_2 = \frac{\mu'\lambda}{u} I_0(\lambda r_1) I_1(ur_1) - I_0(ur_1) I_1(\lambda r_1) + \xi_2 \left[K_0(ur_1) I_1(\lambda r_1) + \frac{\mu'\lambda}{u} K_1(ur_1) I_0(\lambda r_1) \right],$$

$$\xi_1 = \frac{I_0(ur_1) I_1(\lambda r_1) - \frac{\mu'\lambda}{u} I_1(ur_1) I_0(\lambda r_1)}{K_0(ur_1) I_1(\lambda r_1) + \frac{\mu'\lambda}{u} K_1(ur_1) I_0(\lambda r_1)},$$

$$\xi_2 = \frac{I_0(ur) K_1(\lambda r) + \frac{\mu'\lambda}{u} I_1(ur) K_0(\lambda r)}{K_1(\lambda r) K_0(ur) - \frac{\mu'\lambda}{u} K_1(ur) K_0(\lambda r)},$$

$K_1(\lambda a)$; $K_1(\lambda \rho)$; $I_1(\lambda a)$; $I_1(\lambda \rho)$; $K_0(\lambda r)$ и $I_0(\lambda r)$ — модифицированные функции Бесселя первого нулевого порядка 2-го и 1-го рода; r — наружный радиус трубы; r_1 — внутренний радиус трубы,

$$P_1 = \frac{\frac{\mu' \lambda}{u} I_1(ur) I_0(\lambda r) - I_0(ur) I_1(\lambda r) + \xi_1 \left[K_0(ur) I_1(\lambda r) + \frac{\mu' \lambda}{u} K_1(ur) I_0(\lambda r) \right]}{\frac{\varphi_1}{u} I_0(ur_1) K_1(\lambda r_1) + \frac{\mu' \lambda}{u} I_1(ur_1) K_0(\lambda r_1)}$$

$$P_2 = \frac{\xi_2 \left[K_0(ur_1) K_1(\lambda r_1) - \frac{\mu' \lambda}{u} K_1(ur_1) K_0(\lambda r_1) \right]}{\varphi_2}$$

При увеличении толщины стенки, когда труба переходит в сердечник или бесконечно толстый тоннель, составляющая вторичного электрического поля принимает следующий вид:

$$E_{\text{фвт. I}} = \frac{-j\omega\mu_0 I a_1}{\pi} \int_0^{\infty} \frac{\mu' \lambda I_0(\lambda r) I_1(ur) - u I_1(\lambda r) I_0(ur)}{\mu' \lambda K_0(\lambda r) I_1(ur) + u I_0(ur) K_1(\lambda r)} K_1(\lambda a_1) \times$$

$$\times K_1(\lambda \rho) \cos \lambda z d\lambda,$$

$$r, \gg \rho \geq a$$
(5)

$$E_{\text{фвт. II}} = \frac{-j\omega\mu_0 I a_2}{\pi} \int_0^{\infty} \frac{\mu' \lambda K_0(\lambda r_1) K_1(ur_1) - u K_1(\lambda r_1) K_0(ur_1)}{\mu' \lambda I_0(\lambda r_1) K_1(ur_1) + u I_1(\lambda r_1) K_0(ur_1)} I_1(\lambda a_2) \times$$

$$\times I_1(\lambda \rho) \cos \lambda z d\lambda.$$
(6)

Напряжение, снимаемое с измерительной катушки проходного типа преобразователя, в силу симметрии равно $U = 2\pi r E_{\text{ф}}$. Таким образом, чтобы знать связь выходного сигнала с соответствующими измеряемыми параметрами, необходимо вычислить несобственные интегралы выражений (1—6).

В работе [4] предложен один из способов приближенной оценки указанных выражений. Однако менее громоздким и в то же время более строгим является, на наш взгляд, нижеследующий метод.

Несобственный интеграл выражается путем формального разложения коэффициента реакции или коэффициента экранирования металла в ряд Маклорена, а затем операции суммирования и интегрирования меняются местами. На основании этого выражения (2, 3, 5 и 6) представляются в следующем виде:

$$E_{\text{ф II}} = \frac{-j\omega\mu_0' I a_1}{\pi r} \sum_{n=0}^{\infty} \frac{S_1^{(n)}(0)}{n!} \int_0^{\infty} x_1^n K_1(x_1) \cos x_1 z' d x_1 =$$

$$= \frac{-j\omega\mu_0 \mu' I a_1}{\pi r} \sum_{n=0}^{\infty} \frac{S_1^{(n)}(0)}{n!} 2^{n-1} \Gamma\left(1 + \frac{n}{2}\right) \Gamma\left(\frac{n}{2}\right); F\left(1 + \frac{n}{2}; \frac{n}{2}; \frac{1}{2}; -z^2\right),$$
(7)

$$E_{\text{ф I}} = \frac{-j\omega\mu_0 \mu' I a_2}{\pi r_1} \sum_{n=0}^{\infty} \frac{S_2^{(n)}(0)}{n!} \int_0^{\infty} x_2^n K_1(x_2 \rho') \cos x_2 z' d x_2 =$$

$$= \frac{-j\omega\mu_0\mu' I a_2}{\pi r_1} \sum_{n=0}^{\infty} \frac{S_2^{(n)}(0)}{n!} 2^{n-1} \Gamma\left(1 + \frac{n}{2}\right) \Gamma\left(\frac{n}{2}\right) F\left(1 + \frac{n}{2}; \frac{n}{2}; \frac{1}{2}; \frac{-z^2}{\rho^2}\right) \times$$

$$\times \rho'^{-(n-1)} \quad (8)$$

$$E_{\text{фвТ I}} = \frac{-j\omega\mu_0 I}{\pi} \sum_{n=0}^{\infty} \frac{F_1^{(n)}(0)}{n!} \int_0^{\infty} x_1^n K_1(x_1) \cos x_1 z' dx_1 =$$

$$= \frac{-j\omega\mu_0 I a_1}{\pi} \sum_{n=0}^{\infty} \frac{F_1^{(n)}(0)}{n!} 2^{n-1} \Gamma\left(1 + \frac{n}{2}\right) \Gamma\left(\frac{n}{2}\right) F\left(1 + \frac{n}{2}; \frac{n}{2}; \frac{1}{2}; -z'^2\right), \quad (9)$$

$$E_{\text{фвТ II}} = \frac{-j\omega\mu_0 I}{\pi} \sum_{n=0}^{\infty} \frac{F_2^{(n)}(0)}{n!} \int_0^{\infty} x_2^n K_1(x_2) \cos x_2 z' dx_2 =$$

$$= \frac{-j\omega\mu_0 I a_2}{\pi} \sum_{n=0}^{\infty} \frac{F_2^{(n)}(0)}{n!} 2^{n-1} \Gamma\left(1 + \frac{n}{2}\right) \Gamma\left(\frac{n}{2}\right) F\left(1 + \frac{n}{2}; \frac{n}{2}; \frac{1}{2}; -z'^2\right), \quad (10)$$

где $x_1 = \lambda a_1$; $x_2 = \lambda a_2$; $z' = \frac{z}{a}$; $\rho' = \frac{\rho}{a}$; $r' = \frac{r}{a}$; $u' = ua$;

$$r'_1 = \frac{r_1}{a};$$

$$F_1 = \frac{\mu' x_1 I_0(x_1 r') I_1(u' r') - u' I_1(x_1 r') I_0(u' r')}{\mu' x_1 K_0(x_1 r') I_1(u' r') + u' I_0(u' r') K_1(x_1 r')} K_1(x_1 \rho');$$

$$F_2 = \frac{\mu' x_2 K_0(x_2 r'_1) K_1(u' r'_1) - u' K_1(x_2 r'_1) K_0(u' r'_1)}{\mu' x_2 I_0(x_2 r'_1) K_1(u' r'_1) + u' I_1(x_2 r'_1) K_0(u' r'_1)} \cdot \frac{I_1(x_2) I_1(x_2 \rho')}{K_1(x_2)};$$

$$S_1 = \frac{I_1(x_1 \rho') [I_1(u' r'_1) + \xi_1 K_1(u' r'_1)]}{u' \varphi_1 I_1(x_1 r'_1)};$$

$$S_2 = \frac{I_1(x_2) [I_1(u' r') + \xi_2 K_1(u' r')] }{u' \varphi_2 K_1(x_2 r')}$$

Далее проводится анализ функций $F_1(0)$, $F_2(0)$, $S_1(0)$ и $S_2(0)$. Нулевые и вторые производные их равны нулю, а потому ряды (7-10) приближенно можно представить членом при $n=1$. Учитывая, что

$$F_1'(0) = -\frac{r'^2}{2\rho'} \left[1 - \frac{2\mu' I_1(kr)}{kr I_0(kr)} \right]; \quad (11)$$

$$F_2'(0) = -\frac{\rho'}{2r_1'^2} \left[1 + \frac{2\mu' K_1(kr_1)}{kr_1 K_0(kr_1)} \right]; \quad (12)$$

$$S_1'(0) = \frac{\rho' r'}{kr_1 [I_0(kr) [kr_1 K_0(kr_1) + 2\mu' K_1(kr_1)] - K_0(kr) [kr_1 I_0(kr_1) - 2\mu' I_1(kr_1)]]}; \quad (13)$$

$$S_2'(0) = \frac{1}{a_2 k K [I_0(kr) [2\mu' K_1(kr_1) + kr_1 K_0(kr_1)] - K_0(kr) [kr_1 I_0(kr_1) - 2\mu' I_1(kr_1)]]}; \quad (14)$$

$$F\left(\frac{3}{2}; \frac{1}{2}; \frac{1}{2}; -z'^2\right) = (1+z'^2)^{-\frac{3}{2}};$$

$$F\left(\frac{3}{2}; \frac{1}{2}; \frac{1}{2}; -\frac{z^2}{\rho^2}\right) = \left(1 + \frac{z^2}{\rho^2}\right)^{-\frac{3}{2}}; E_{\Phi_0} = -\frac{jw\mu_0 I}{2\pi} \sqrt{\frac{a}{\rho}} \mathcal{F}(p);$$

$$f(p) = \left(\frac{2}{p} - p\right) K(p) - \frac{2}{p} E(p); p^2 = \frac{4ap}{z^2 + (a+p)^2};$$

получаем следующие значения искомых функций:

$$U_{\text{вн. отн I}} = \frac{j\pi r'^2 (1+z'^2)^{-\frac{3}{2}}}{2\sqrt{\rho'} \cdot j(p)} \left[\frac{2\mu'}{kr} \cdot \frac{I_1(kr)}{I_0(kr)} - 1 \right] \quad (15)$$

— наружный проходной преобразователь;

$$U_{\text{вн. отн II}} = -\frac{j\pi \rho'^{\frac{3}{2}}}{2r_1'^2 j(p)(1+z'^2)^{\frac{3}{2}}} \left[1 + \frac{2\mu'}{kr_1} \cdot \frac{K_1(kr_1)}{K_0(kr_1)} \right] \quad (16)$$

— внутренний проходной преобразователь;

$$U_{\text{отн 3}} = \frac{j\pi \mu' \rho'^{\frac{3}{2}}}{2kr_1 \sqrt{(1+z'^2)^3} \cdot j(p)} \left\{ I_0(kr) \left[\frac{kr_1}{2} K_0(kr_1) + \mu' K_1(kr_1) \right] + \frac{j\pi \mu' \rho'^{\frac{3}{2}}}{K_0^2(kr) \left[\mu' I_1(kr_1) - \frac{kr_1}{2} I_0(kr_1) \right]} \right\} \quad (17)$$

— наружный экраный преобразователь,

$$U_{\text{отн 4}} = \frac{j\pi \mu' \rho'^{-\frac{3}{2}}}{2kr_1 \sqrt{\left(1 + \frac{z^2}{\rho^2}\right)^3} \cdot j(p)} \left\{ I_0(kr) \left[\frac{kr_1}{2} K_0(kr_1) + \mu' K_1(kr_1) \right] + \frac{j\pi \mu' \rho'^{-\frac{3}{2}}}{K_0(kr) \left[\mu' I_1(kr_1) - \frac{kr_1}{2} I_0(kr_1) \right]} \right\} \quad (18)$$

— внутренний экраный преобразователь.

Отличительной особенностью полученных формул является то, что свойства материала и геометрические размеры изделия выражаются одним сомножителем, а конструктивные размеры преобразователя — другим. Это позволяет, независимо от объекта контроля, оценить влияние диаметров катушек преобразователя и расстояния между ними — базы.

На рис. 2 показано изменение вносимого напряжения двухкатушечного проходного наружного преобразователя в функции об-

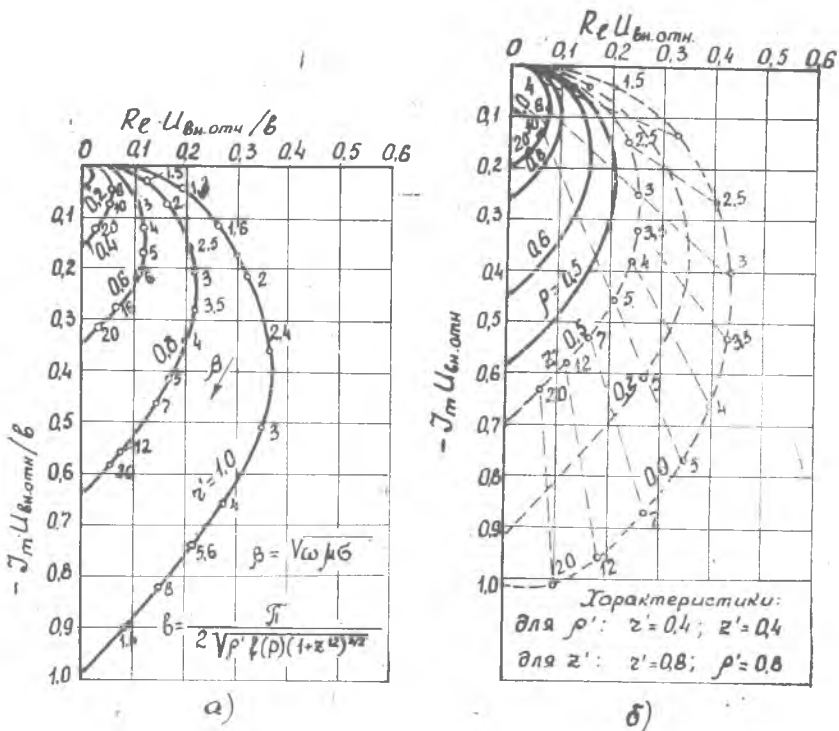


Рис. 2. Зависимость относительного комплексного напряжения наружного проходного преобразователя: а) от $\beta = a \sqrt{W \mu \sigma}$ и б) от β , ρ' и z'

общенного параметра $\beta = a \sqrt{W \mu \sigma}$, радиуса сердечника, радиуса измерительной катушки и базы преобразователя. Зависимости аналогичны случаю бесконечно длинного соленоида и, следовательно, многие выводы, сделанные ранее относительно влияния свойств материала сердечника и его геометрических размеров для этого случая, остаются справедливыми и для двухвиткового преобразователя.

Уменьшение радиуса измерительной катушки, т. е. приближение ее к поверхности сердечника, увеличивает вносимое напряжение пропорционально коэффициенту $\frac{1}{\sqrt{\rho'(p)}}$. Изменение базы приводит сначала к росту $U_{\text{вн.отн}}$ от $\frac{1}{3}$ а затем к уменьшению, согласно зависимости $\frac{1}{f(p(1+z'^2)) \cdot 2}$.

На рис. 3 показана комплексная плоскость вносимого напряжения проходного преобразователя, помещенного внутри толстостенной трубы. Пунктирные линии изображают влияние внутреннего радиуса трубы, а сплошные — магнитной проницаемости материала.

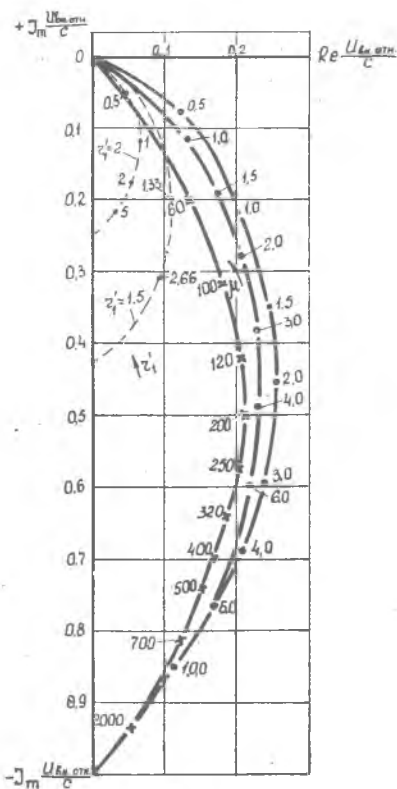


Рис. 3. Влияние g' и μ' на комплексное относительное напряжение внутреннего проходного преобразователя

При сравнительно больших значениях аргумента ($kr \geq 15e^{\frac{\pi}{4} i}$), что часто имеет место при контроле ферромагнитных материалов, отношение функций Бесселя $\frac{I_1(kr)}{I_0(kr)}$ и $\frac{K_0(kr)}{K_1(kr)}$ с погрешностью не более 5% можно принять равным единице. Тогда формулы (15)—(18) еще более упрощаются, переходя соответственно в (19)—(22):

$$U_{\text{вн. отн. I}} = \frac{j\pi r'^2 \left(\frac{2\mu'}{kr} - 1 \right)}{2\sqrt{p'} f(p) (1+z'^2)^{\frac{3}{2}}}, \quad (19)$$

$$U_{\text{вн. отн. II}} = \frac{j\pi r'^{\frac{3}{2}}}{2r_1'^2 f(p) (1+z'^2)^{\frac{3}{2}} \left(\frac{2\mu'}{kr} + 1 \right)} \quad (20)$$

Интересно, что при значительном увеличении μ' кривые мало деформируются в плоскости, в то время как рабочая точка, характеризующая величину обобщенного параметра, резко смещается снизу, вверх. Влияние базы внутреннего преобразователя аналогично случаю для наружного. Увеличение радиуса измерительной катушки приводит к росту вносимого импеданса пропорционально $\frac{p'^{\frac{3}{2}}}{f(p)}$.

Для экранных проходных преобразователей характерно, что независимо от того, находится ли токовая катушка снаружи либо внутри трубы, влияние свойств материала и геометрических размеров изделия остается идентичным. На рис. 4 приводятся зависимости напряжения измерительной катушки в функции обобщенного параметра β , μ' , а также внутреннего и наружного радиуса трубы.

При увеличении магнитной проницаемости материала кривые комплексного напряжения смещаются вправо, причем обобщенный параметр одной и той же величины переходит снизу вверх.

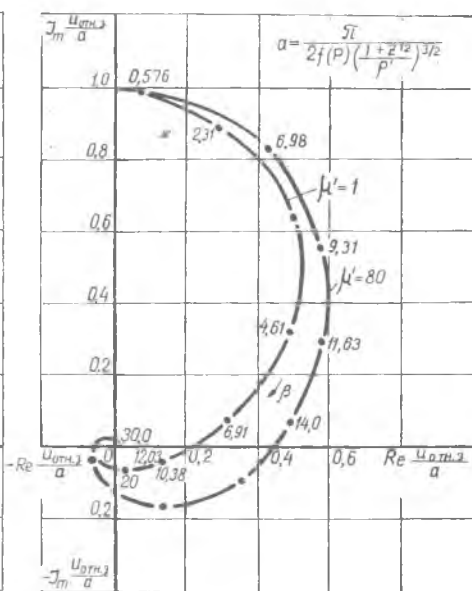
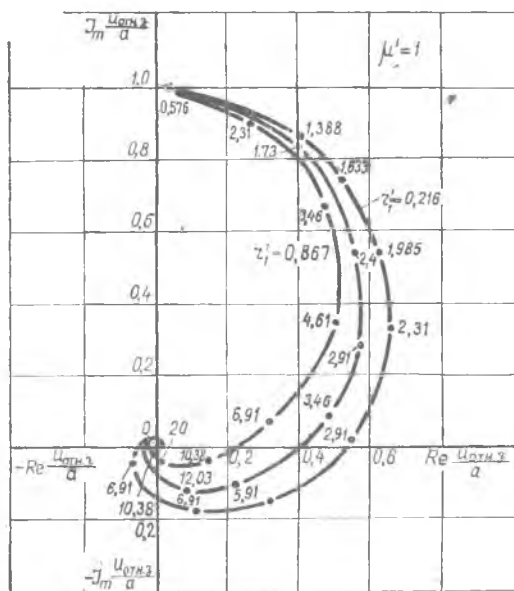
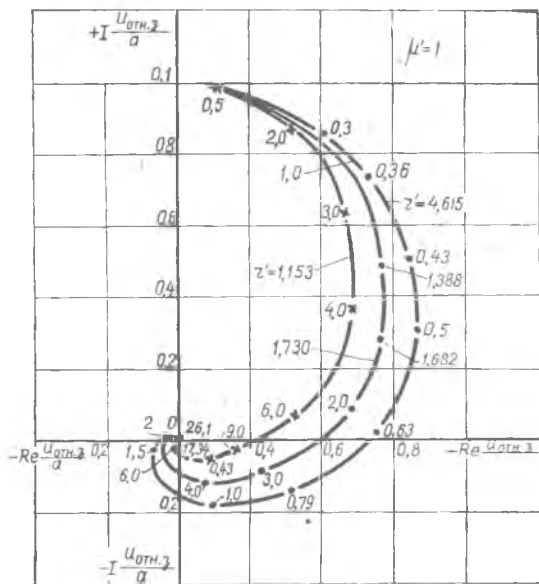


Рис. 4. Зависимость относительного комплексного напряжения наружного экранного преобразователя: а) от $\beta = a\sqrt{W\mu\sigma}$ и μ' ; б) от β и r_1 ; в) от β и r' .

Работа посвящена решению задач синтеза систем автоматического управления при случайных воздействиях. Решение находится в виде ортогонального ряда.

$$U_{\text{отн}_3} = \frac{j\pi u' \rho'^{\frac{3}{2}}}{kr_1 f(p) (1+z'^2)^{\frac{3}{2}} [I_0(kr) K_0(kr_1)(2u'+kr_1) + K_0(kr) I_0(kr_1)(2u'-kr_1)]} \quad (21)$$

$$U_{\text{отн}_4} = \frac{j\pi u' \rho'^{-\frac{3}{2}}}{kr_1 f(p) \left(1 + \frac{z^2}{\rho^2}\right)^{\frac{3}{2}} [I_0(kr) K_0(kr_1)(2u'+kr_1) + K_0(kr) I_0(kr_1)(2u'-kr_1)]} \quad (22)$$

Изменение базы как для наружного, так и для внутреннего проходного экранного преобразователя выражается одинаково с помощью

соответствующих сомножителей $\frac{(1+z'^2)^{-\frac{3}{2}}}{f(p)}$ и $\frac{\left(1 + \frac{z^2}{\rho^2}\right)^{-\frac{3}{2}}}{f(p)}$.

Если токовая катушка располагается снаружи, то увеличение напряжения на внутренней измерительной катушке происходит пропорционально коэффициенту $\frac{\rho'^{\frac{3}{2}}}{f(p)}$. При обратном положении

указанная зависимость определяется членом $\frac{1}{\rho'^{\frac{3}{2}} f(p)}$, т. е. измери-

тельное напряжение резко уменьшается с ростом радиуса наружной измерительной катушки.

Анализ приведенных форм позволяет сделать общие выводы для выбора оптимальных геометрических размеров вихретоковых преобразователей проходного типа. Чтобы получить максимальную относительную чувствительность, следует задающую и измерительную катушки по возможности приближать к изделию контроля, а базу преобразователя выбирать в пределах 0,4—1,0 радиуса токовой катушки.

Погрешность приведенных формул оценивалась при снятии экспериментальных кривых вносимого напряжения с помощью фазочувствительных измерительных схем (вольтметр В5-1, фазометры Ф2-1, Ф2-4, осциллограф С1-16), а также путем сравнения с опубликованными экспериментальными данными.

В качестве переменных параметров использовались база и радиусы катушек проходного преобразователя. Для неферромагнитных образцов максимальная погрешность расчета не превышает 17%. Возможность использования полученных формул для контроля магнитных материалов является темой специального исследования, выходящего за рамки данной работы.

Эксперименты показали также, что при совмещении измерительной и токовой катушек ($\rho=a, z'=0$) функцию $f(\rho)$ следует брать равной $\left(\frac{\pi}{2}\right)^3$, а при $\rho=a$ и $z'=0,1$ $f(\rho) = \left(\frac{\pi}{2}\right)^2$.

ЛИТЕРАТУРА

1. Н. М. Родигин и И. Е. Коробейникова. Контроль качества изделий методом вихревых токов. Москва, Свердловск, Машгиз, 1958.
2. В. Г. Герасимов. «Заводская лаборатория», № 9, стр. 1094, 1962.
3. Неразрушающие испытания (справочник), часть II, М, Л, 1965.
4. В. Г. Герасимов и Л. А. Чернов. «Дефектоскопия», № 5, стр. 47, 1965.

